



(11) RO 127772 B1

(51) Int.Cl.
G01N 21/25 (2006.01)

(12)

BREVET DE INVENȚIE

(21) Nr. cerere: **a 2011 00124**

(22) Data de depozit: **11.02.2011**

(45) Data publicării mențiunii acordării brevetului: **30.12.2014** BOPI nr. **12/2014**

(41) Data publicării cererii:
30.08.2012 BOPI nr. **8/2012**

(73) Titular:

- **GORAŞ BOGDAN TUDOR,**
STR.SF LAZĂR NR.53, BL.A 1, SC.A, AP.10,
IAŞI, IS, RO;
- **IOANID EMIL GHIOCEL,** STR.SĂRĂRIE
NR.43, IAŞI, IS, RO;
- **RUSU DORINA,** STR.VASILE A.URECHIA
NR.4, BL.M 6, ET.4, AP.14, IAŞI, IS, RO

(72) Inventatori:

- **GORAŞ BOGDAN TUDOR,**
STR.SF LAZĂR NR.53, BL.A 1, SC.A, AP.10,
IAŞI, IS, RO;
- **IOANID EMIL GHIOCEL,** STR.SĂRĂRIE
NR.43, IAŞI, IS, RO;
- **RUSU DORINA,** STR.VASILE A.URECHIA
NR. 4, BL.M 6, ET.4, AP.14, IAŞI, IS, RO

(56) Documente din stadiul tehnicii:
CN 101451970 A; RO 119097 B1

(54) **METODĂ DE EVALUARE A TRATAMENTELOR DE CURĂȚARE**

Examinator: ing. VLĂDESCU CATRINEL



Orice persoană are dreptul să formuleze în scris și motivat, la OSIM, o cerere de revocare a brevetului de inventie, în termen de 6 luni de la publicarea mențiunii hotărârii de acordare a acesteia

RO 127772 B1

1 Prezenta inventie se referă la o metodă ce permite evaluarea calitativă a tratamentelor
de curățare în plasmă rece de înaltă frecvență a obiectelor din patrimoniul cultural mobil.

3 Normele de restaurare-conservare a obiectelor de patrimoniu interzic prelevarea de
probe pentru analize; de asemenea, diversitatea materialelor componente și complexitatea
5 formei acestora fac dificilă aplicarea procedeelor convenționale de evaluare a eficienței
tratamentului de curățare în plasmă de înaltă frecvență.

7 Se cunoaște un procedeu de evaluare a tratamentului de curățare, ce constă în
măsurarea unor caracteristici optice - culoare, luciu - ale suprafeței obiectului, înainte și după
9 tratament, folosind în acest scop un colorimetru și un glossmetru.

11 Dezavantajul principal al acestui procedeu constă în aceea că rezultatele sunt
obținute prin analizarea optică a unei suprafețe mari a obiectului, fapt ce reduce sensibilitatea
13 aprecierii punctuale a eficienței tratamentului.

15 Un alt procedeu constă în realizarea unor imagini fotografice document, înainte și
după efectuarea tratamentului de curățare, urmată de compararea vizuală a acestora.

17 Dezavantajul acestui procedeu constă în prezența unui factor subiectiv în compara-
rea imaginilor fotografice.

19 Problema pe care o rezolvă inventia constă în diversificarea metodelor de evaluare
a efectelor obținute în urma restaurării-conservării patrimoniului cultural mobil.

21 Metoda conform inventiei înălțătură dezavantajele de mai sus prin aceea că, în scopul
evaluării calitative a efectului curățării în plasmă de înaltă frecvență a unui obiect, se obțin,
23 cu un aparat fotografic digital, două imagini ale acestuia, înainte și după curățare, păstrând
constante intensitatea luminii, poziția obiectului față de sistemul optic, distanța aparat
fotografic-obiect și setările aparatului fotografic - timp de expunere, diafragmă, balans de alb
și senzitivitate - după care imaginile sunt analizate atât global, cât și local, considerând eșan-
25 tioane distribuite pe toată suprafața obiectului, acestea fiind subiectul etapei de extragere de
trăsături statistice evaluate ulterior - valoare medie, deviație standard, oblicitate - markeri ai
27 aprecierii curățării.

29 Parametrii statistici au fost calculați pe baza valorilor pixelilor din zonele de interes
și de pe întreaga suprafață a obiectului evaluat.

31 Media unei zone de interes pentru o culoare dată este determinată prin media
aritmetică a tuturor valorilor pixelilor în aria imaginii.

33 Deviația standard reprezintă o măsură a împrăștierii valorilor pixelilor în imagine,
astfel, valori înalte/joase corespund unui contrast mare/mic.

35 Oblicitatea histogramei este o măsură a simetriei distribuției pixelilor; astfel, distribu-
țiile simetrice au oblicitatea zero.

37 Prin aplicarea inventiei se obțin următoarele avantaje:

- metoda este neinvazivă și ușor de aplicat;
- are un preț de cost scăzut;

39 - asigură investigarea întregii suprafețe a obiectului, precum și a oricărei zone de
interes a acestuia.

41 Se dau în continuare două exemple de realizare a inventiei, cu referire la fig. 1...3,
ce reprezintă:

43 - fig. 1, reprezentarea schematică a unui ansamblu optico-mecanic ce facilitează
aplicarea metodei;

45 - fig. 2, imaginile fotografice ale unei zone de interes dintr-o monedă de argint, și
histogramele acestora, obținute înainte (a) și după (b) tratamentul de curățare;

47 - fig. 3, imaginile fotografice ale unei zone de interes dintr-o icoană pictată pe lemn,
și reprezentările grafice ale parametrilor statistici obținuți înainte (a) și după (b) tratamentul
49 de curățare, precum și evoluția acestora în timp.

RO 127772 B1

Aplicarea metodei se realizează cu un ansamblu optico-mecanic în care un obiect 1 ce urmează a fi curățat se aşază pe un suport rotativ 2, prevăzut pe circumferință cu o scală gradată 3, de la 0 la 360° , amplasat într-o incintă 4 de descărcare în plasmă, alcătuită dintr-un vas 5 din sticlă Pyrex, doi electrozi semicilindrici 6 și o placă de bază 7 în legătură, printr-un ax 8, cu suportul rotativ 2. Două surse de lumină, 9, 10, fixate la distanțe egale de suprafața analizată a obiectului evaluat, asigură iluminarea uniformă a obiectului 1, în vederea preluării imaginilor cu un aparat fotografic digital 11, amplasat pe un dispozitiv A ce îi permite atât deplasarea după două direcții perpendiculare, cât și măsurarea distanței obiect 1 - aparat fotografic digital 11, cu ajutorul unor scale gradate 12, 13 montate pe niște tije profilate 14, 15. Un reper 16 trasat pe placa 7 permite reposiționarea exactă a obiectului față de aparatul fotografic.

Exemplul 1 se referă la curățarea unui obiect 1 - monedă de argint - de secol XIX. Moneda, amplasată pe suportul rotativ 2, se iluminează cu sursele 9, 10, reglate astfel ca pe suprafața acesteia intensitatea să fie de 150 luxi, și se preia o imagine cu un aparat fotografic digital 11 Olimpus E 400, cu lentile macro 35 mm f/3,5 amplasat pe dispozitivul A la distanța de 1,5 m și înălțimea de 1 m față de monedă. Pentru efectuarea curățării se aşază vasul 5 din sticlă Pyrex pe placă de bază 7, se videază incinta 4 și se amorsează descărcarea în plasmă în mediu de H_2 la presiunea de $7 \cdot 10^{-1}$ mbar. După 30 min de tratament, se îndepărtează vasul 5 de sticlă Pyrex și se preia o nouă imagine a monedei în aceleași condiții de iluminare, distanță obiect 1 aparat fotografic digital 11, setările aparatului fotografic fiind cele inițiale. Cele două imagini - inițială și finală - sunt încărcate într-un sistem de calcul și, prin intermediul unui software specializat, utilizatorul are posibilitatea să aleagă zonele de interes în vederea analizei și a extragerii de histograme și markeri ce evidențiază eficiența curățării.

Din valorile parametrilor statistici media, deviația standard și oblicitatea, înscrise în tabelul 1 și fig. 2, se constată creșterea valorii mediei și scăderea oblicității, ceea ce indică o curățare bună a monedei, rezultat confirmat și prin apreciere vizuală. Scăderea oblicității marchează o curățare neomogenă, explicată de faptul că anumite zone au fost recondiționate complet. Creșterea deviației standard reflectă mărirea contrastului, fenomen vizibil în cazul suprafețelor neuniforme, ce prezintă relief.

Tabelul 1

*Valori ale parametrilor statistici dintr-un eșantion extras
din imaginea monedei de argint*

Media		Deviația standard		Oblicitatea	
Inițial	Final	Inițial	Final	Inițial	Final
79,53	156,15	31,57	43,27	1,15	-0,36

Exemplul 2 se referă la curățarea unei obiect 1 - icoană de secol XIX pictată pe lemn, înnegrită de fum. Icoana fixată pe suportul rotativ 2 se iluminează cu sursele 9, 10, reglate astfel ca pe suprafața icoanei intensitatea luminoasă să fie de 250 luxi, și se realizează fotografia inițială cu un aparat fotografic digital 11 Olimpus E 400, cu lentile macro 35 mm f/3,5, amplasat pe dispozitivul A la distanța de 2 m și înălțimea de 1,3 m față de icoană 1 ce urmează a fi curățată. Pentru efectuarea curățării se aşază vasul 5 din sticlă Pyrex pe placă de bază 7, se videază incinta 4 și se amorsează descărcarea în plasmă în mediu de Ar/O_2 în proporție de 85%/15% la presiunea de $2 \cdot 10^{-1}$ mbar. Imaginele se preiau la

1 intervale fixe de tratament în plasmă de circa 30 min, până când se ajunge la un timp
 3 cumulat de expunere de 180 min. După fiecare expunere se îndepărtează vasul 5 de sticlă
 5 Pyrex și se refotografiază icoana 1 în aceleași condiții cu cele inițiale. Imaginele captate și
 7 etichetate conform timpilor cumulați de expunere sunt încărcate într-un sistem de calcul și
 9 analizate cu ajutorul unui software specializat, obținându-se evoluția în timp a parametrilor
 11 statistic precum media și deviația standard (std) - fig. 3. Caracterul monoton al parametrilor
 13 medie (temp) și std (temp) relevă o curățare progresivă. Din valorile parametrilor statistici
 15 media și deviația standard, înscrise în tabelul 2, se constată creșterea atât a valorilor medii
 17 și a deviațiilor standard, ceea ce indică îndepărtarea depunerilor de fum, precum și o
 creștere a contrastului, rezultat confirmat și de imaginile fotografice.

Tabelul 2

13 *Valori ale parametrilor statistici dintr-un eșantion extras
 15 din imaginea icoanei expusă la intervale de 30 min de tratament*

Timp (min)	Inițial	30	60	90	120	150	180
Medie	73,47	76,70	71,45	75,28	73,65	81,84	85,61
Deviație standard	17,07	22,94	20,34	20,32	21,18	22,21	22,62

RO 127772 B1

Revendicare	1
Metodă de evaluare calitativă a tratamentului de curățare în plasmă de înaltă frecvență a obiectelor de patrimoniu, care constă în realizarea unor imagini fotografice înainte și după efectuarea respectivului tratament de curățare, urmată de o comparare vizuală a celor două fotografii, caracterizată prin aceea că , într-o primă fază pregătitoare, obiectul de patrimoniu este amplasat pe un suport rotativ, care îi permite acestuia efectuarea unei mișcări de rotație de la 0 la 360 ⁰ față de un reper, urmată de faza de determinare și înregistrare a distanței dintre obiect și aparatul fotografic, a poziției obiectului pe două direcții perpendiculare, și a valorii intensității luminii pe suprafața investigată; în continuare se fotografiază respectivul obiect, după efectuarea tratamentului de curățare, la intervale fixe de timp, se regleză distanța dintre obiect și aparatul fotografic și intensitatea luminii astfel încât valorile acestora să fie identice cu valorile inițiale, se fotografiază obiectul, într-o ultimă fază, imaginile inițiale și cele obținute după tratamentul de curățare sunt evaluate cu ajutorul unui software, comparația dintre acestea realizându-se pentru întreaga imagine fotografiată sau pentru zone de interes, pe baza unor histograme ale imaginilor și pe baza evoluției în timp a parametrilor statici, respectiv, media, deviația standard și oblicitatea.	3
	5
	7
	9
	11
	13
	15
	17

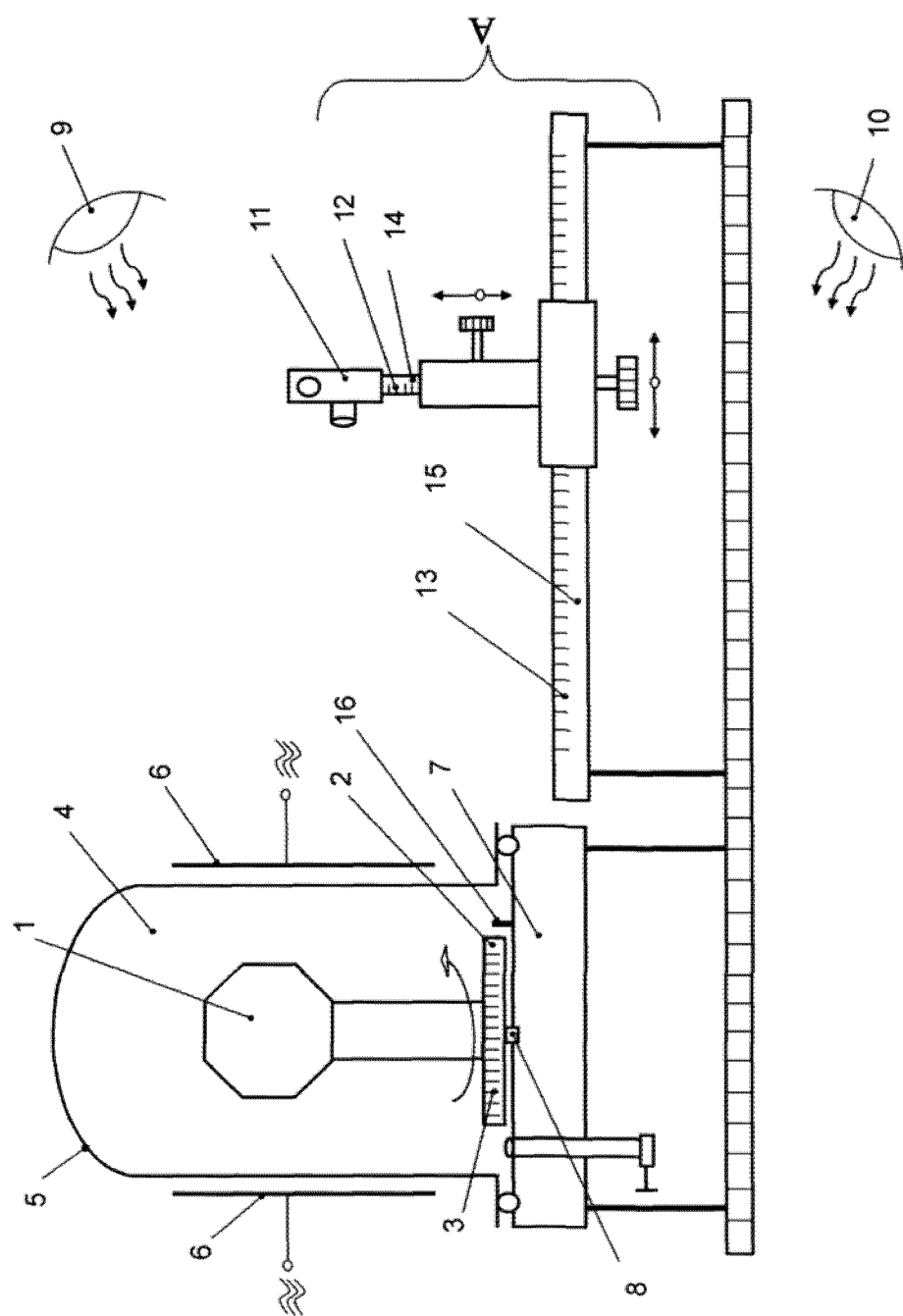


Fig. 1

RO 127772 B1

(51) Int.Cl.

G01N 21/25 (2006.01)

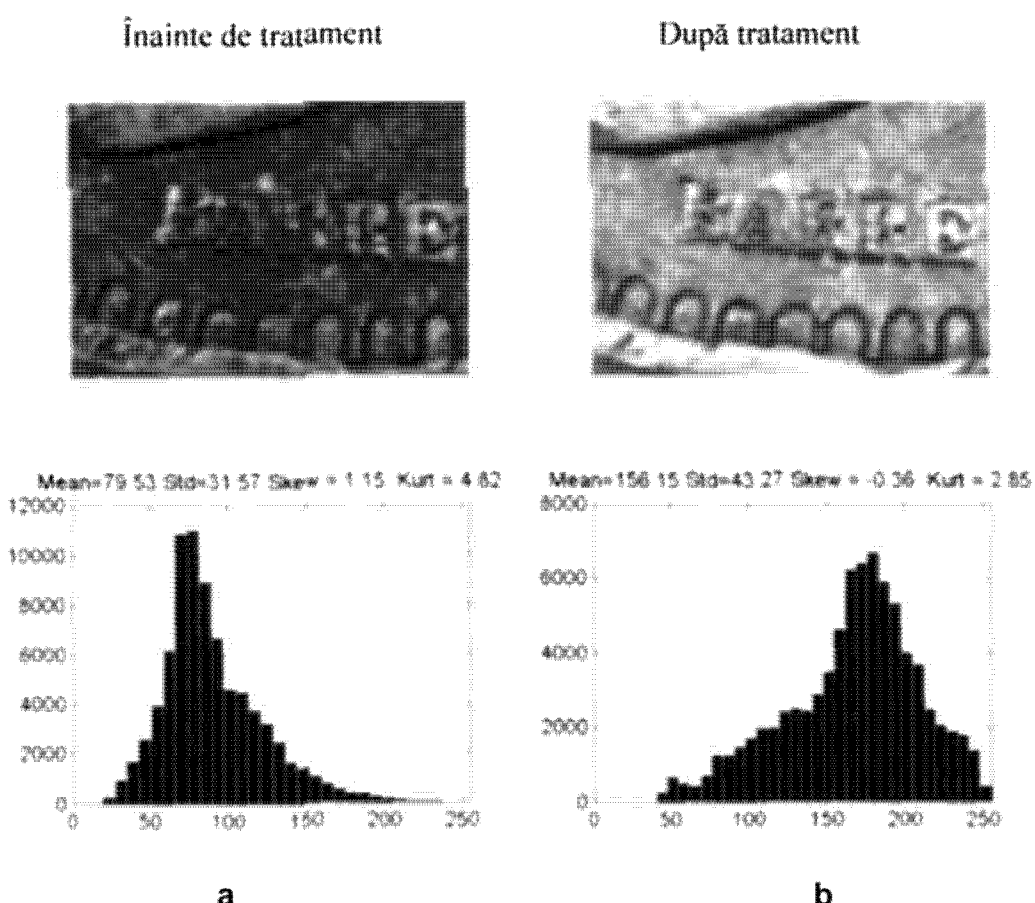


Fig. 2

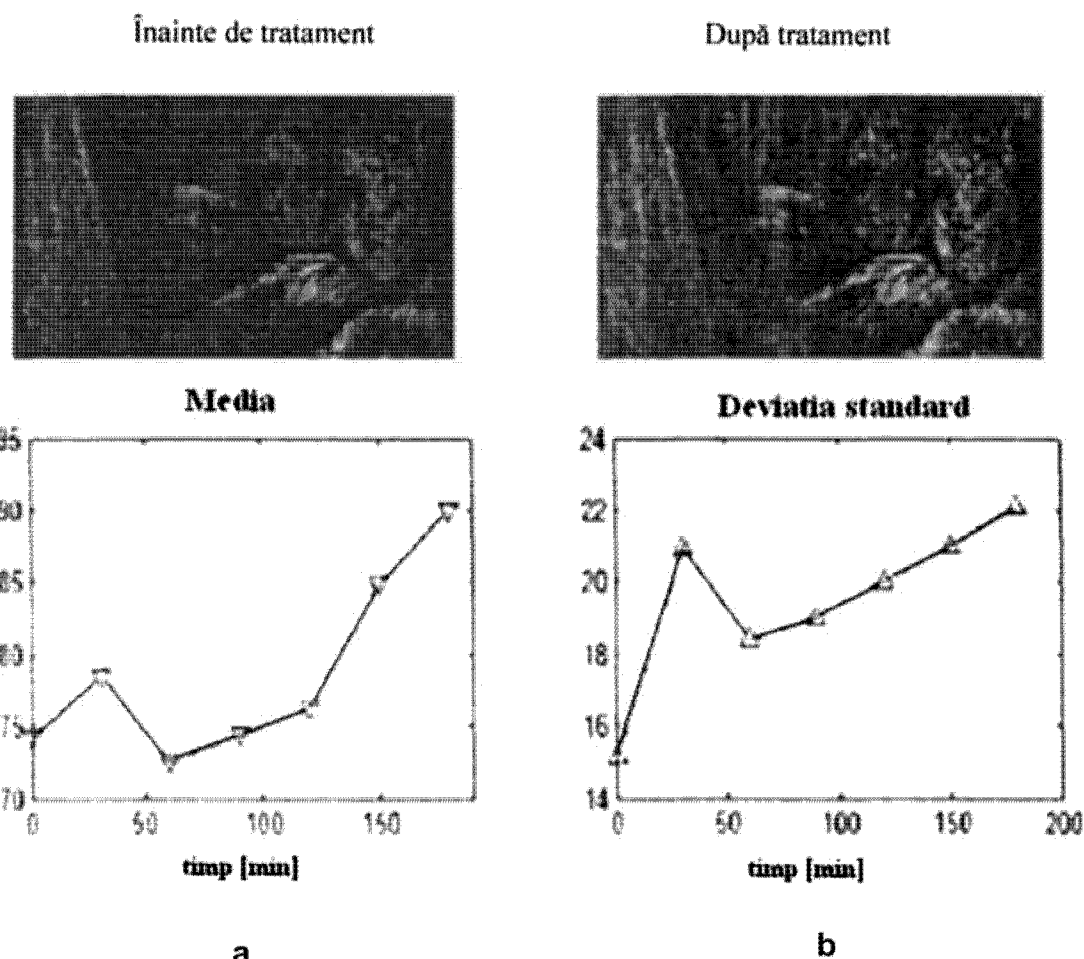


Fig. 3

